

MÉTHODES DE DÉCOMPOSITION ET COORDINATION POUR L'OPTIMISATION AVEC MESURE DE RISQUE

Henri Gérard - Michel De Lara - Jean-Christophe Pesquet

École des Ponts ParisTech – Labex Bézout

Exemple de problème d'optimisation stochastique

On écrit le problème avec deux agents

$$\min_{\mathbf{U}_a \in \mathcal{U}_a^{\Omega}, \mathbf{U}_b \in \mathcal{U}_b^{\Omega}} \mathbb{E}_{\mathbb{P}} [j(\underbrace{\mathbf{U}_a}_{\text{contrôles}}, \underbrace{\mathbf{U}_b}_{\text{aléa}}, \mathbf{W})] \quad (1a)$$

avec les contraintes suivantes

$$\text{s.c.} \begin{cases} \mathbf{U}_a \preceq \mathcal{G}_a, & \mathbf{U}_a \text{ mesurable par rapport à la tribu } \mathcal{G}_a \\ \mathbf{U}_b \preceq \mathcal{G}_b, & \mathbf{U}_b \text{ mesurable par rapport à la tribu } \mathcal{G}_b \end{cases} \quad (1b)$$

Le cas particulier d'une filtration où $\mathcal{G}_a \subset \mathcal{G}_b$ peut s'interpréter comme une révélation d'information au cours du temps

Malédiction de la dimension

Les solutions d'un problème d'optimisation stochastique multi-agents et/ou multi-étapes tel que (1) sont naturellement indicées par

- le temps discret : $t \in \{0, \dots, T\}$
- les scénarios discrets : $\omega \in \Omega$ fini
- les agents discrets : $a \in \mathcal{A}$

Dès que le nombre de pas de temps, de scénarios et/ou d'agents est élevé, le problème devient presque impossible

Exemple 1. En prenant 10 pas de temps, 3 aléas possibles à chaque pas de temps et 5 agents, on obtient $\approx 300\,000$ variables

Nous présentons deux méthodes de décomposition lorsque la mesure de risque n'est plus additive

Objectifs d'une méthode de décomposition :

- Découper le problème initial en sous-problèmes d'optimisation abordables numériquement
 - Dans le cas multi-agents, on parle de décentralisation
 - Dans le cas multi-étapes, on parle de décomposition temporelle
- Permettre la résolution en parallèle de ces sous problèmes

Dans le cadre risque neutre, on utilise l'espérance qui est un opérateur linéaire se prêtant bien à la décomposition additive [1]. Nous développons deux méthodes de résolution lorsque l'espérance est remplacée par une mesure de risque \mathbb{F} [3] comme suit :

$$\min_{\substack{\mathbf{U}_a \preceq \mathcal{G}_a, \mathbf{U}_b \preceq \mathcal{G}_b \\ \text{contraintes de mesurabilité}}} \underbrace{\mathbb{F}}_{\text{mesure de risque}} \left[\underbrace{j}_{\text{critère}}(\underbrace{\mathbf{U}_a, \mathbf{U}_b}_{\text{contrôles}}, \underbrace{\mathbf{W}}_{\text{aléa}}) \right] \quad (2)$$

Décomposition temporelle et formulation imbriquée [2]

On se place dans le cadre particulier où $\mathcal{G}_a \subset \mathcal{G}_b$.

Une mesure de risque dynamique $(\mathbb{F}, \mathbb{F}_a, \mathbb{F}_b)$ a la propriété de cohérence temporelle si

$$\mathbb{F}[\mathbf{U}] = \mathbb{F} \left[\underbrace{\mathbb{F}_a[\mathbf{U}]}_{\mathcal{G}_a\text{-mesurable}} \right] = \mathbb{F} \left[\mathbb{F}_a \left[\underbrace{\mathbb{F}_b[\mathbf{U}]}_{\mathcal{G}_b\text{-mesurable}} \right] \right], \quad \forall \mathbf{U} \in \mathcal{U}^{\Omega}$$

Théorème 1. *Si il existe une mesure de risque dynamique $(\mathbb{F}, \mathbb{F}_a, \mathbb{F}_b)$ et sous des hypothèses techniques, le problème (2) est équivalent à*

$$\mathbb{F} \left[\min_{u_a \in \mathcal{U}_a} \mathbb{F}_a \left[\min_{u_b \in \mathcal{U}_b} \mathbb{F}_b [j(u_a, u_b, \mathbf{W})] \right] \right]$$

Schéma de l'algorithme

- À u_a fixé, on résout le problème de minimisation en u_b
- On résout les différents problèmes en u_a en parallèle

Décomposition par dualisation des contraintes de mesurabilité

On étudie le problème (2) en écrivant d'une façon particulière les contraintes de mesurabilités :

$$\min_{\mathbf{U}_a \in \mathcal{U}_a^{\Omega}, \mathbf{U}_b \in \mathcal{U}_b^{\Omega}} \mathbb{F} [j(\mathbf{U}_a, \mathbf{U}_b, \mathbf{W})] \quad (3a)$$

$$\text{s.t.} \begin{cases} \mathbb{E}_{\mathbb{P}}[\mathbf{U}_a | \mathcal{G}_a] = \mathbf{U}_a \\ \mathbb{E}_{\mathbb{P}}[\mathbf{U}_b | \mathcal{G}_b] = \mathbf{U}_b \end{cases} \quad (3b)$$

Théorème 2. *Si la mesure de risque s'écrit sous la forme*

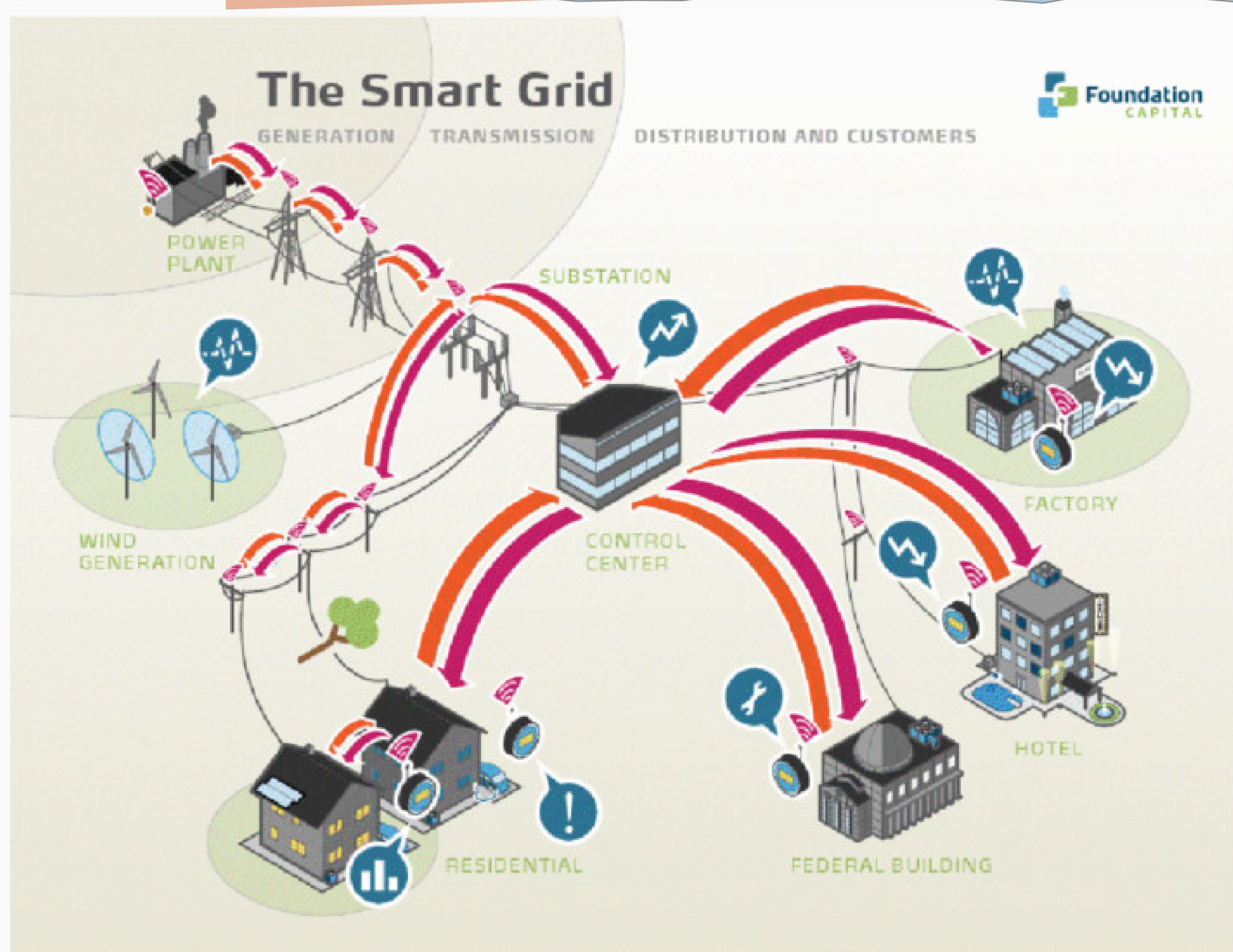
$$\mathbb{F}[\mathbf{U}] = \max_{\mathbb{Q} \in \mathcal{Q}_{\mathbb{F}}} \mathbb{E}_{\mathbb{Q}}[\mathbf{U}]$$

et sous des hypothèses techniques, on peut décomposer le problème (3) scénario par scénario

$$\max_{\pi_a \in (\mathbb{R}^{n_a})^{\Omega}, \pi_b \in (\mathbb{R}^{n_b})^{\Omega}} \max_{\mathbb{Q} \in \mathcal{Q}_{\mathbb{F}}} \mathbb{E}_{\mathbb{P}} \left[\min_{u_a \in \mathcal{U}_a, u_b \in \mathcal{U}_b} j(u_a, u_b, \mathbf{W}) \frac{d\mathbb{Q}}{d\mathbb{P}} + (\mathbb{E}_{\mathbb{P}}[\pi_a | \mathcal{G}_a] - \pi_a) u_a + (\mathbb{E}_{\mathbb{P}}[\pi_b | \mathcal{G}_b] - \pi_b) u_b \right]$$

Schéma de l'algorithme

- À (π_a, π_b) fixé, on résout le problème de minimisation en (u_a, u_b)
- On résout les différents problèmes ω par ω en parallèle et on met à jour les multiplicateurs (π_a, π_b)



Application au pilotage de systèmes énergétiques décentralisés

- Les nouveaux systèmes énergétiques utilisent de plus en plus d'énergies renouvelables intermittentes (vent, soleil)
- Cette stochasticité augmente le risque de déséquilibre entre offre et demande
- L'explosion du nombre de petits producteurs rend le réseau plus difficile à gérer de manière centralisée

References

- [1] Kengy Barty, Pierre Carpentier, and Pierre Girardeau. Decomposition of large-scale stochastic optimal control problems. *RAIRO-Operations Research*, 44(03):167–183, 2010.
- [2] Michel De Lara and Vincent Leclère. Building up time-consistency for risk measures and dynamic optimization. *European Journal of Operational Research*, 249(1):177–187, 2016.
- [3] Hans Föllmer and Alexander Schied. *Stochastic finance: an introduction in discrete time*. Walter de Gruyter, 2011.